



# ИСКУССТВЕННЫЙ БЕЛОК, ОБЛАДАЮЩИЙ БИОЛОГИЧЕСКОЙ АКТИВНОСТЬЮ ФАКТОРА ДИФФЕРЕНЦИРОВКИ КЛЕТОК ЛИНИИ HL-60 ПРОМИЕЛОЦИТАРНОГО ЛЕЙКОЗА ЧЕЛОВЕКА

© 2003 г. Р. В. Черткова<sup>#</sup>, И. А. Костанян, М. В. Астапова,  
Е. А. Сурина, Д. А. Долгих, М. П. Кирпичников

Институт биоорганической химии им. М.М. Шемякина и Ю.А. Овчинникова РАН,  
117997 ГСП, Москва, В-437, ул. Миклухо-Маклая, 16/10

Поступила в редакцию 11.12.2001 г. Принята к печати 15.02.2002 г.

Искусственный белок ABB-df получен путем включения биологически активного гексапептида TGENHR с последовательностью 41–46 фактора дифференцировки клеток линии HL-60 промиелоцитарного лейкоза человека в N-конец полипептидной цепи альбебетина – искусственного белка с заданной структурой. Обнаружено, что белок ABB-df вызывает дифференцировку и подавляет пролиферацию клеток HL-60 с эффективностью, сопоставимой с эффективностью исходного пептида. Согласно данным КД-спектроскопии, включение пептидного фрагмента в альбебетин практически не изменяет регулярную вторичную структуру белка.

**Ключевые слова:** альбебетин, искусственные белки, пептид HLDF-6, фактор дифференцировки HLDF, клеточная линия HL-60.

## ВВЕДЕНИЕ

Теоретические знания о принципах структурной и функциональной организации белковых молекул, накопленные к настоящему моменту, активно используются при дизайне новых белковых структур (*de novo*-белков). Одним из возможных практических применений искусственных белков, не обладающих собственной функцией, может быть использование их в качестве “носителей” биологически активных пептидов. Это позволит выделить отдельные функциональные участки природных белков для их подробного исследования, а в перспективе создавать не обладающие побочными активностями белковые препараты с полезными медицинскими или биотехнологическими свойствами. Кроме того, возможно, что присоединение к структурированной белковой молекуле активного пептида может оказаться эффективным способом стабилизации последнего за счет уменьшения уровня биодеградации под действием клеточных протеиназ.

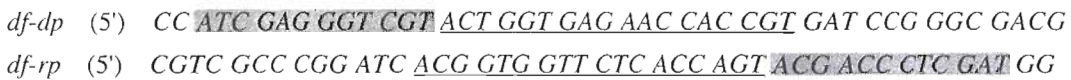
Ранее [1] в нашей лаборатории был получен искусственный белок альбебетин с уникальной

топологией, не обнаруженной в природных белках, и обладающий достаточной стабильностью и компактностью [2]. Затем на основе альбебетина путем введения в его N-концевую последовательность пептида (фрагмент 130–137) LKEKKYSP [3] из консервативной части молекулы  $\alpha_2$ -интерферона человека [4] был получен белок альбеферон [5]. Было показано, что альбеферон обладает более высокой по сравнению с нативным  $\alpha_2$ -интерфероном бласттрансформирующей активностью [6], а также несколько более компактной и стабильной по сравнению с альбебетином структурой [7]. Исследования иммунологических свойств альбебетина и альбеферона позволили установить, что оба белка обладают относительно низкой иммуногенностью [8].

В 1995 г. из культуральной среды клеток HL-60 промиелоцитарного лейкоза человека, обработанных полностью-транс-ретиноевой кислотой, был выделен и охарактеризован эндогенный белковый фактор с  $M$  8.2 кДа (HLDF), вызывающий дифференцировку исходной клеточной линии HL-60 по гранулоцитарному пути [9, 10]. Для получения полноразмерного фактора HLDF были созданы экспрессионные конструкции, однако, выяснилось, что его экспрессия в прокариотических системах сопряжена со значительными сложностями, возникающими, по-видимому, вследствие высокой ДНК/РНК-гидролизующей активности фактора, обусловленной фрагментом RRWHRLKE (31–38) [11]. В процессе изучения химически синтезированных фрагментов фактора HLDF был идентифи-

Сокращения: ABB – искусственный белок альбебетин; ABB-df – альбебетин с присоединенным фрагментом TGENHR; HLDF – фактор дифференцировки клеток HL-60 промиелоцитарного лейкоза человека; HLDF-6 – гексапептидный фрагмент TGENHR HLDF-(41–46); NBT – нитрогруппный тетразолий; TRX – тиоредоксин; IPTG – изопропил- $\beta$ -D-галактозид; PEI – полизтиленимин.

<sup>#</sup> Автор для переписки (тел.: (095) 335-28-88; факс: (095) 335-50-33; эл. почта: rita@nmr.ru).



**Схема.** Структура синтезированных олигонуклеотидов – праймеров, использованных для введения в ген альбебетина последовательности, кодирующей гексапептидный фрагмент HLDF-6 (подчеркнута). Участок, кодирующий сайт связывания протеиназы фактора Xa, выделен зачернением.

цирован шестичленный пептид TGENHR (HLDF-6), сохраняющий способность полноразмерного фактора вызывать дифференцировку и останавливать пролиферацию клеток HL-60 [12]. Исследование механизмов действия пептида HLDF-6 не выявило специфических рецепторов пептида на клеточной поверхности, что позволило авторам предположить его неспецифическое взаимодействие с липидными компонентами клеточной мембраны [12].

Индукторы дифференцировки, подобные полноразмерному фактору HLDF и пептиду HLDF-6, представляют большой практический интерес в качестве терапевтических средств для лечения некоторых форм лейкозов. Преимуществами таких препаратов по сравнению с химиотерапевтическими средствами являются отсутствие побочных воздействий и токсичности, хорошая растворимость и физиологический диапазон активных концентраций. Однако, как сказано выше, получение рекомбинантного фактора HLDF сопряжено с большими трудностями, а пептидные препараты, удобные для исследований *in vitro*, зачастую сложно применить в клинической практике вследствие их быстрой инактивации в организме. В связи с этим актуальной является задача конструирования белковых препаратов, воспроизводящих противоопухолевые свойства подобных белковых факторов и обладающих более высокой по сравнению с пептидными препаратами устойчивостью к деградации *in vivo* и отсутствием ограничений доступности препарата.

Цель настоящей работы – получение и исследование нового искусственного белка с заданными биологическими свойствами, а именно, способностью вызывать дифференцировку и останавливать пролиферацию лейкемических клеток и представляющего собой альбебетин с присоединенным к его *N*-концевой последовательности активным гексапептидным фрагментом HLDF-6 фактора дифференцировки линии клеток HL-60 промиелоцитарного лейкоза человека.

## РЕЗУЛЬТАТЫ И ОБСУЖДЕНИЕ

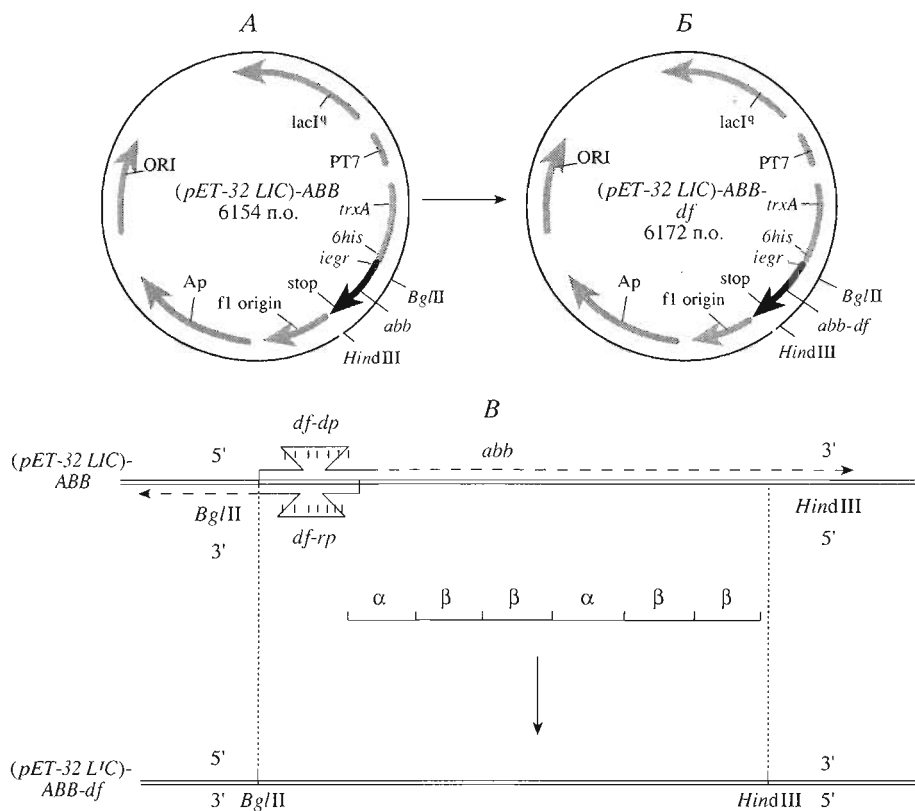
Ген искусственного белка альбебетина был получен ранее [1], а затем введен в плазмидный вектор для экспрессии *pMal-c* [13] по сайтам рестрикции *Bam*H I и *Hind*III. Этот вектор позволяет экспрессировать ген целевого белка в слитном виде с геном мальтозосвязывающего белка (МСБ).

Однако конечный выход альбебетина при использовании этой системы оказался недостаточным, вероятно, вследствие значительного различия молекулярных масс МСБ (~45 кДа) и целевого белка (~9 кДа). В связи с этим было решено использовать другую конструкцию для слитной экспрессии, позволяющую применить удобную схему выделения и очистки и соответственно добиться высокого выхода искусственных белков.

В качестве такой конструкции был использован плазмидный вектор *pET-32 LIC* [14] для экспрессии в прокариотической системе (*Escherichia coli*). Этот вектор позволяет экспрессировать ген целевого белка в виде единой полипептидной цепи (гибрида) с тиоредоксином (TRX, ген *trxA*) из *E. coli* (рис. 1, A). Помимо TRX в состав такого гибридного белка входят вспомогательные участки – последовательность из шести остатков His (6His × Tag, *bhis*) для быстрой и эффективной очистки гибридного белка с использованием металлогелатной хроматографии на колонке с никель-нитрилтриацетатагарозой (Ni-NTA-SF), а также участок распознавания высокоспецифической протеиназы фактора Xa IEGR (*iegr*) [15] для последующего энзиматического расщепления гибридного белка. Рекомбинантный ген гибридного белка в этом векторе находится под контролем сильного промотора бактериофага T7, что позволяет достигать достаточно высокого уровня экспрессии.

Для субклонирования гена альбебетина в вектор *pET-32 LIC* в его состав с помощью ПЦР был введен сайт рестрикции *Bgl*II, после чего ген был проклонирован по рестриктным сайтам *Bgl*II и *Hind*III в приведенный выше вектор.

Введение олигонуклеотида, кодирующего пептидный фрагмент TGENHR, в область гена, соответствующую *N*-концевой последовательности альбебетина, было осуществлено методом сайт-направленного мутагенеза (“QuikChange”, Stratagene, США) [16]. Метод позволяет с большой точностью вводить в ген последовательности, кодирующие небольшие фрагменты, путем амплификации в ходе циклической реакции обеих цепей плазмидной ДНК. Для этого были синтезированы два комплементарных праймера, прямой *df-dp* и обратный *df-rp* (схема), содержащие участок плазмиды, кодирующий сайт распознавания протеиназы фактора Xa (выделен зачернением), участок, кодирующий вводимый пептид (подчерк-



**Рис. 1.** Экспрессионные плазмидные векторы серии *pET-32 LIC*. *A* и *Б* – схемы исходного плазмидного вектора (*pET-32 LIC*)-*ABB*, несущего ген альбебетина, и вектора (*pET-32 LIC*)-*ABB-df*, несущего ген альбебетина с присоединенным пептидным фрагментом HLDF-6. *В* – схема, иллюстрирующая введение в (*pET-32 LIC*)-*ABB* с помощью циклической реакции последовательности *hldf-6*, кодирующей гексапептид HLDF-6. *df-dp* и *df-rp* – праймеры для введения в ген альбебетина этой последовательности. Показано распределение элементов вторичной структуры ( $\alpha$ ,  $\beta$ ) белка альбебетина на соответствующей нуклеотидной цепи.

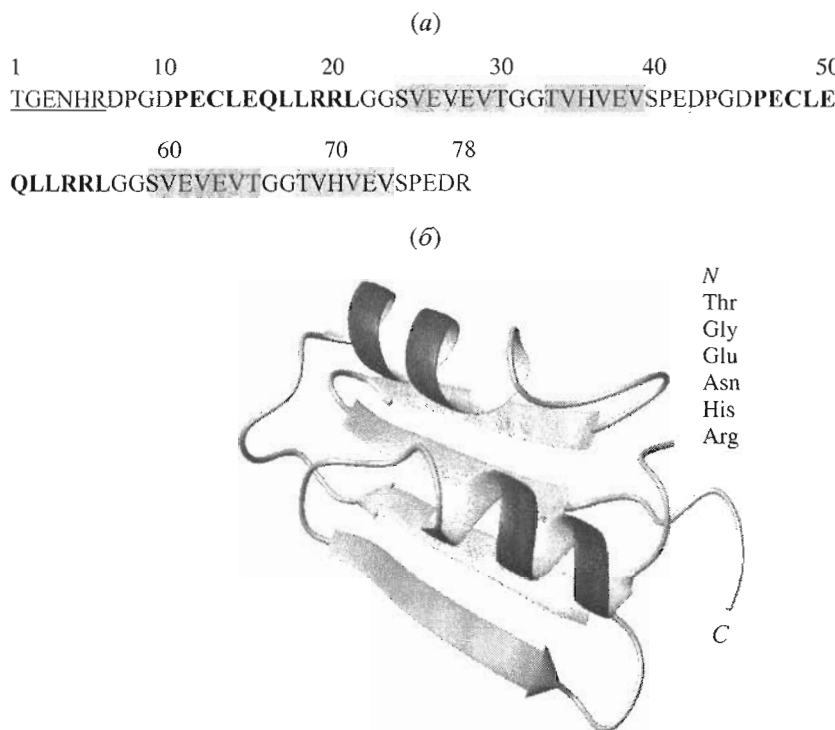
нут), и участок 5'-концевой последовательности гена альбебетина.

В качестве матричной в реакции использовалась ДНК вектора (*pET-32 LIC*)-*ABB*, несущего ген альбебетина. Схема реакции представлена на рис. 1, *B*. Реакцию амплификации плазмидной ДНК проводили согласно рекомендациям фирмы-изготовителя (“QuikChange”, Stratagene, США). Для того чтобы избавиться от матричной плазмидной ДНК, по окончании реакции продукт обрабатывали эндонуклеазой рестрикции *Dpn*I, проявляющей специфичность к метилированной ДНК (последовательность 5'-G<sup>m6</sup>ATC-3') [17]. В отличие от матричной плазмиды, наработанной в *E. coli*, синтезированная в ходе реакции плазмидная ДНК (*pET-32 LIC*)-*ABB-df*, содержащая мутантный ген, не подвергалась расщеплению *Dpn*I.

Полученные плазмиды проверяли на наличие вставки секвенированием и использовали для трансформации *E. coli*. Таким образом, в составе описанной экспрессирующей конструкции был получен ген альбебетина, включающий олигонуклеотидную последовательность, кодирующую пептид TGENHR-HLDF-(41-46)-фрагмент (рис. 1, *B*).

На рис. 2 представлена аминокислотная последовательность полипептида, кодируемого полученным геном (*a*), а также его предполагаемая пространственная структура (*b*) (см. ниже).

Наработку белков АВВ и АВВ-*df* в виде гибридов с TRX осуществляли в штамме *E. coli* BL21(DE3)*pLysS*, который является лизогенным по бактериофагу  $\lambda$ (DE3) и несет участок ДНК с геном *lacI<sup>q</sup>* и геном РНК-полимеразы фага Т7 под контролем промотора *lacUV5* (PT7). Известно, что сочетание содержащегося в векторе *pET-32 LIC* T7-lac-промотора и клеточной плазмиды *pLysS* является необходимым условием для экспрессии генов токсичных и сильно токсичных белков в клетке [18]. Несмотря на отсутствие токсичности в наших белках, значительного уровня экспрессии их генов в слитном виде с геном *trxA* удалось достичь лишь при наличии в клетках штамма плазмиды *pLysS*; попытки получить достаточный уровень экспрессии в штаммах *E. coli* BL21(DE3) и AD494 не увенчались успехом. В результате оптимизации условий биосинтеза гибридных белков было обнаружено, что максимальный выход (до 150 мг/1 л клеточной суспензии) достигается за



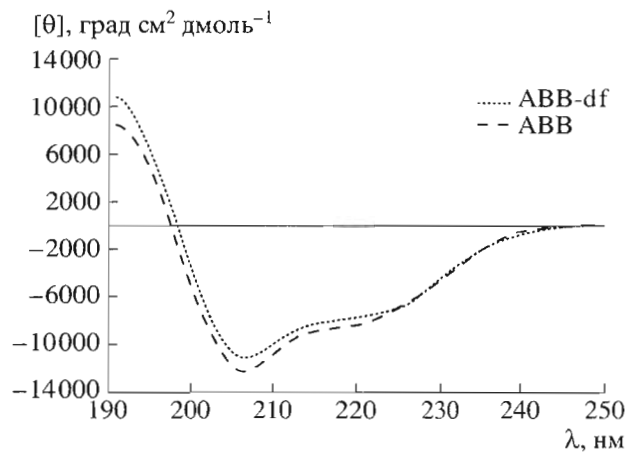
**Рис. 2.** Структура искусственного белка альбебетина, несущего в составе *N*-концевой последовательности пептидный фрагмент HLDF-6: (а) – первичная структура; подчеркнута аминокислотная последовательность пептида HLDF-6, жирным шрифтом выделены  $\alpha$ -спиральные, а зачернением –  $\beta$ -структурные участки; (б) – предполагаемая пространственная структура.

8–9 ч в питательной среде ТВ при концентрации индуктора изопропилтио- $\beta$ -D-галактозида (IPTG) 0.6 mM и 37°C.

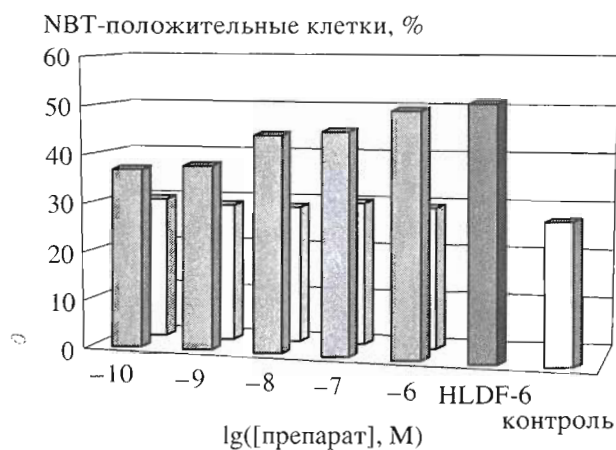
Гибридные белки очищали с помощью жидкостной хроматографии на колонке с анионообменным сорбентом Mono Q HR, а затем на колонке с металлхелатным сорбентом Ni-NTA-SF и подвергали расщеплению высокоспецифичной протеиназой фактором Xa. После этого реакционную смесь наносили на колонку с Ni-NTA-SF. На этом этапе разделение смеси белков основывалось на том, что отщепившийся искусственный белок в отличие от остальной части гибрида, несущей в своем составе 6His  $\times$  Tag, не взаимодействовал с сорбентом. Разработанная схема выделения и очистки искусственных белков позволяла получать от 12 до 15 мг белка с 1 л клеточной суспензии.

Согласно данным масс-спектрометрии, молекулярная масса полученного белка соответствовала рассчитанной и составляла 8.37 кДа. Гомогенность препарата ABB-df была подтверждена электрофоретически, а также анализом *N*-концевой аминокислотной последовательности методом секвенирования. При этом удалось определить последовательность девяти *N*-концевых аминокислотных остатков: Thr-Gly-Glu-Asn-His-Arg-Asp-Pro-Gly-.

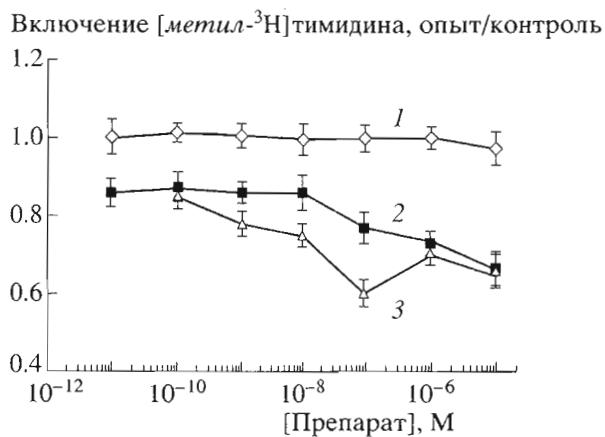
Из данных КД-спектроскопии белков ABB и ABB-df в дальней УФ-области (рис. 3) следует, что искусственные белки имеют весьма похожие спектры. Как известно, анализ формы и интенсивности спектров КД в этой области позволяет определить содержание регулярной вторичной



**Рис. 3.** Спектры КД белков ABB и ABB-df в дальней УФ-области. Измерения проводились в буфере 20 mM NH<sub>4</sub>HCO<sub>3</sub>, pH 7.9 при 21°C. Концентрации белков – 0.90 (ABB) и 0.81 (ABB-df) мг/мл, толщина кюветы – 0.1 см.



**Рис. 4.** Влияние препаратов белков ABB-df (темно-серые столбцы) и ABB (белые столбцы) на дифференцировку клеток линии HL-60 промиелоцитарного лейкоза человека в ходе NBT-теста. В качестве отрицательного контроля использовались интактные клетки HL-60 (светло-серый столбец), в качестве положительного – пептидный фрагмент HLDF-6 в концентрации  $10^{-6}$  М (черный столбец). Приведены средние значения трех независимых экспериментов, величина стандартного отклонения составляла не более 6% среднего значения.



**Рис. 5.** Влияние препаратов белков ABB (1) и ABB-df (2) и пептида HLDF-6 (3) на пролиферацию клеток HL-60. Включение [<sup>3</sup>Н]тимидина в контроле составляло  $46\ 100 \pm 2100$  имп./мин. Приведены средние значения двух независимых экспериментов  $\pm$  S.E.M.

структурой в исследуемом белке. Действительно, расчет спектров по методике Провенчера и Глока [19] показал, что содержание  $\alpha$ - и  $\beta$ -структур в новом искусственном белке ABB-df составляет 28 и 33% соответственно, тогда как для альбебетина эти характеристики равны 29 и 40%. Полученные значения хорошо согласуются с расчетными данными: из анализа предполагаемой структуры альбебетина следует, что молекула этого белка должна содержать 30 и 36%  $\alpha$ - и  $\beta$ -структур [20]. Небольшое уменьшение содержания

$\alpha$ -структурированных участков по сравнению с расчетными и увеличение содержания неструктурных объясняется, по-видимому, тем, что фрагмент TGENHR в составе белка ABB-df (как, предположительно, и в самом HLDF) не обладает регулярной вторичной структурой. Полученные данные хорошо сопоставимы с результатами исследования структурных свойств альбебетина, содержание  $\alpha$ - и  $\beta$ -структур в котором, как было показано, составляет 27 и 35% [21].

Ранее на основе данных КД-спектроскопии в ближней УФ-области было показано, что введение в состав альбебетина октапептидного фрагмента 130–137  $\alpha_2$ -интерферона человека приводит к появлению более жесткой и упорядоченной по сравнению с альбебетином пространственной структуры, по крайней мере, в окружении остатка Тир7 [7]. Поскольку в белке ABB-df, как и в альбебетине, отсутствуют ароматические аминокислотные остатки, спектр КД в ближней УФ-области не имеет выраженных специфических сигналов, поэтому судить об изменении упорядоченности и стабильности структуры этого белка можно лишь после проведения исследований другими методами, например, дифференциальной сканирующей микрокалориметрией. Тем не менее сохранение регулярной вторичной структуры альбебетина в белке ABB-df позволяет предположить, что молекула нового белка сохранила общие структурные свойства альбебетина, не противоречащие предполагаемой структуре (рис. 2б).

В ходе тестирования биологических свойств белка ABB-df было показано, что по отношению к клеткам линии HL-60 белок обладает дифференцирующей активностью, которую определяли с помощью NBT-теста [22] (рис. 4). Приведенные данные демонстрируют, что в присутствии белка ABB-df возрастало число NBT-положительных клеток HL-60 (способных восстанавливать нитроголубой тетразолий) во всем диапазоне исследованных концентраций, в то время как альбебетин не оказывал на клетки подобного воздействия. Эффективность действия препарата ABB-df сопоставима с эффективностью пептидного фрагмента HLDF-6, хотя и более низкая по сравнению с эффективностью нативного фактора HLDF [10].

Дифференцирующая активность исследуемого белка оценивалась также по способности подавлять общий уровень пролиферации культуры клеток HL-60, определяемый по количеству включенного в клетки [<sup>3</sup>Н]тимидина [23]. Из приведенных на рис. 5 данных следует, что воздействие белка ABB-df, ингибирующее включение [<sup>3</sup>Н]тимидина, проявлялось в широком диапазоне концентраций ( $10^{-11}$ – $10^{-5}$  М). При увеличении доз препарата активность возрастала пропорционально, достигая максимального значения при концентрации  $10^{-5}$  М, что сопоставимо с активностью пептида HLDF-6, хотя и ниже, чем активность нативного фактора дифференцировки

HLDF [10]. Исследованный параллельно препарат альбебетина при тех же концентрациях не оказывал заметного влияния на пролиферацию клеток. Важно отметить, что препараты искусственных белков ABB-df и ABB, а также пептида HLDF-6 не проявляли в отношении клеток HL-60 цитотоксической активности (данные не представлены).

Таким образом, в результате нашей работы на основе альбебетина и фактора дифференцировки HLDF клеток линии HL-60 промиелоцитарного лейкоза человека сконструирован новый искусственный белок ABB-df с заданными биологическими свойствами. Получен экспрессионный вектор, содержащий ген этого белка, и разработана эффективная система его биосинтеза, выделения и очистки, что позволило наработать искусственный белок в количествах, достаточных для анализа биологических и структурных свойств. Согласно данным КД-спектроскопии, введение пептида в молекулу альбебетина не вызвало сколько-нибудь заметного изменения его структурных характеристик. В ходе тестирования биологической активности было обнаружено, что введение аминокислотной последовательности пептида HLDF-6 в N-концевую последовательность альбебетина приводит к появлению у последнего некоторых свойств полноразмерного фактора дифференцировки HLDF, а именно дифференцирующей и антипролиферативной активностей. Полученный таким химерный белок ABB-df является индуктором дифференцировки клеток линии HL-60 и практически воспроизводит активность синтетического пептида, хотя и уступает в активности нативному фактору HLDF.

В целом, полученные результаты служат основанием для дальнейших исследований (как *in vitro*, так и *in vivo*) биологических свойств нового белка, а также изучения его структурных особенностей. Полученные результаты позволяют предполагать возможное использование подобных белковых препаратов в биотехнологии, фармакологии и биомедицине, а кроме того, еще одно свидетельство в пользу того, что альбебетин – отличная модель для исследования функциональной роли отдельных пептидных фрагментов биологически активных белков.

## ЭКСПЕРИМЕНТАЛЬНАЯ ЧАСТЬ

В работе использованы реактивы производства фирм ICN (США), Sigma (США), Serva (США), Bio-Rad (США), а также Реахим (Россия); ферменты: высокоспецифическая протеиназа фактора Xa (New England Biolabs, США), эндонуклеазы рестрикции (Stratagene, Promega, США), ДНК-полимераза *Pfu* (Stratagene, США). Диэтиллированную воду дополнительно очищали с помощью системы Milli-Q (Millipore, США).

**Штаммы бактерий и ростовые среды.** В работе использовали штаммы бактерий *E. coli*: XL-1 Blue (*recA1, endA1, gyrA96, thi-1, hsdR17, supE44, relA1, lac<sup>-</sup>*) (Stratagene, США) и BL21(DE3)*pLysS* (*F<sup>-</sup>, ompT, hsdS<sub>B</sub>, (r<sub>B</sub><sup>-</sup>, m<sub>B</sub><sup>-</sup>), gal, dcm, (DE3), pLysS*) (Novagen, США). Клетки *E. coli* выращивали в средах LB, SOB или TB [24] в зависимости от поставленной задачи; твердые среды содержали 1.5% агара. При необходимости в среду добавляли антибиотики ампициллин (100 мкг/мл) и/или хлорамфеникол (30 мкг/мл).

**Конструирование вектора для экспрессии гена, кодирующего белок ABB-df.** Все генно-инженерные работы (выделение плазиды и секвенирование, трансформация бактериальных штаммов) выполняли по стандартным методикам [24]. Введение олигонуклеотида, кодирующего фрагмент TGENHR из HLDF, в ген альбебетина с помощью сайт-направленного мутагенеза проводили согласно рекомендациям протокола фирмы-изготовителя (“QuikChange”, Stratagene, США). Реакционная смесь в объеме 50 мкл содержала 50 нг матричной ДНК (плазмиды (*pET-32 LIC*)-ABB, содержащая ген альбебетина), по 125 нг олигонуклеотидных праймеров, по 10 нмоль каждого из четырех дезоксинуклеозидтрифосфатов и 2.5 ед. акт. *Pfu*-ДНК-полимеразы. Проводили 20 циклов реакции амплификации по следующей схеме: денатурация матричной ДНК при 95°C (45 с), отжиг при 55°C (60 с) и элонгация при 68°C (12 мин). После завершения реакции к смеси добавляли 10 ед. акт. рестриктазы *DpnI* и инкубировали в течение 60 мин при 37°C. Далее аликовты полученной смеси использовали для трансформации суперкомпетентных клеток *E. coli* XL-1 Blue по стандартной методике.

**Экспрессия рекомбинантных генов.** Клетки штамма *E. coli* BL21(DE3)*pLysS*, трансформированные содержащими гены белков ABB и ABB-df рекомбинантными плазмидами (*pET-32 LIC*)-ABB и (*pET-32 LIC*)-ABB-*df*, выращивали в среде Terrific broth (TB) (12 г/л бактотриптона, 24 г/л дрожжевого экстракта, 0.04% глицерина и 1/10 объема раствора фосфатов: 0.17 М  $\text{KH}_2\text{PO}_4$ , 0.72 М  $\text{K}_2\text{HPO}_4$ , pH 7.4), до значения оптического поглощения  $A_{550} = 0.5\text{--}0.6$ . Затем индуцировали экспрессию генов, добавляя IPTG до конечной концентрации 0.6 мМ. Индуцированную культуру выращивали при 37°C и хорошей аэрации в течение 8–9 ч, после чего клеточную биомассу осаждали центрифугированием в течение 15 мин при 4000 g.

**Выделение и очистка белков.** Полученный клеточный осадок ресуспензировали в буфере для лизиса (50 мМ Трис-HCl, pH 7.8, 2 мМ EDTA, 100 мМ NaCl, 0.1 мМ фенилметилсульфонилфторид). Клеточную суспензию гомогенизировали с помощью ультразвукового дезинтегратора, kle-

точный дебрис осаждали центрифугированием в течение 15 мин при 25000 *g*. К супернатанту добавляли полиэтиленимин (PEI) до конечной концентрации 0.01%, смесь инкубировали в течение 30 мин при 4°C и постоянном перемешивании, после чего осадок комплекса PEI с нуклеиновыми кислотами и частью клеточных белков удаляли центрифугированием в течение 15 мин при 25000 *g*.

Выделение и очистку белков проводили на автоматическом хроматографе Bio-Logic (Bio-Rad, США). Клеточный экстракт наносили на ионообменную колонку Mono Q HR 16/10 (Pharmacia, Швеция). Гибридный белок элюировали в линейном градиенте концентрации NaCl (0.28–0.56 M) со скоростью 2 мл/мин в буфере для элюции (25 mM Трис-HCl, pH 8.0, 1 mM NaN<sub>3</sub>). Фракции, обогащенные гибридным белком, диализовали против 50 mM Трис-HCl-буфера, pH 8.0, содержащего 300 mM NaCl, 20 mM имидазол, 1 mM NaN<sub>3</sub>, концентрировали и наносили на колонку, заполненную никель-нитрилтриацетатагарозой (Ni-NTA-SF) (Qiagen, США).

Металлхелатная очистка проводилась согласно протоколу фирмы-производителя; фракции, содержащие гибридный белок, диализовали против буфера для протеолиза (25 mM Трис-HCl, pH 8.0, 50 mM NaCl, 2 mM CaCl<sub>2</sub>, 1 mM NaN<sub>3</sub>). Энзиматическое расщепление гибридного белка протеиназой фактором Xa и последующее разделение TRX и целевого белка с помощью металлхелатной хроматографии на колонке с Ni-NTA-SF проводили согласно протоколам фирм-производителей (New England Biolabs, США и Qiagen, США соответственно). Очищенные белки при необходимости концентрировали и диализовали против буфера 20 mM NH<sub>4</sub>HCO<sub>3</sub>, pH 7.9.

**Аналитические методы.** Концентрацию гибридного белка определяли по поглощению при длине волны 280 нм с учетом расчетного молярного коэффициента поглощения. Концентрации белков ABB и ABB-df определяли путем сравнения оптического поглощения при  $\lambda$  215 и 225 нм [25].

Все этапы наработки, выделения и очистки белков контролировали с помощью электрофореза в 12% SDS-ПААГ по методу Лэммли [26] и в 12% геле в Трис/трициновой буферной системе [27]. Анализ *N*-концевых аминокислотных последовательностей полученных белков проводили автоматической деградацией по Эдману [28] с использованием газофазного аминокислотного секвенатора 470A (Applied Biosystems, США).

**Спектры КД** в дальней УФ-области (190–250 нм) были получены с помощью спектрополяриметра Jasco-500C (Japan Spectroscopic Co., Япония), оборудованного терmostатируемой ячейкой. Концентрации белков в исследуемых образцах составляли 0.90 и 0.81 мг/мл для ABB и ABB-df соответственно. Измерения проводили в буфере 20 mM NH<sub>4</sub>HCO<sub>3</sub>, pH 7.9, при 21°C, в кювете с длиной оптического пути 0.1 см. Состав регулярной вторич-

ной структуры исследуемых белков рассчитывали по методике Провенчера и Глокера [19].

**Культивирование лейкемических клеток.** Клеточную линию HL-60 культивировали во влажной атмосфере воздуха с 5% CO<sub>2</sub> при 37°C в среде RPMI-1640, содержащей 10 mM HEPES, 0.2% NaHCO<sub>3</sub>, 2 mM L-глутамин, 2 mM пируват натрия, 50 мкг/мл гентамицина, 10% инактивированную эмбриональную сыворотку теленка, pH 7.5. Концентрация клеток для инициации роста составляла  $2.5 \times 10^5$  клеток/мл; время удвоения клеток составляло 36–48 ч. По достижении максимальной плотности ( $2 \times 10^6$  клеток/мл) в конце логарифмической фазы клетки пересевали. По тесту с трипановым синим, жизнеспособность клеток превышала 95%.

**Дифференцирующую активность препаратов белков и пептида** определяли по их способности восстанавливать нитроголубой тетразолий в ходе NBT-теста [22]. Исследуемый препарат белка или пептида вносили в лунки в диапазоне концентраций от  $10^{-10}$ – $10^{-6}$  M, клетки инкубировали во влажной атмосфере воздуха с 5% CO<sub>2</sub> при 37°C. На четвертые сутки после индукции дифференцирующую активность определяли по числу NBT-положительных клеток, выраженному в процентах. Для представления результатов были проанализированы не менее 300 клеток. NBT-положительными считали клетки, содержащие не менее 10 темно-голубых гранул.

**Антипролиферативные свойства препаратов** оценивали по их способности оказывать влияние на включение в клетки [*метил*<sup>3</sup>H]тимицина [23]. Для постановки этого эксперимента в 24-луночные планшеты вносили по 1 мл суспензии клеток (концентрация  $2.5 \times 10^5$  клеток/мл), затем в лунки вносили исследуемый препарат белка или пептида в диапазоне концентраций  $10^{-10}$ – $10^{-5}$  M; в контрольные лунки вносили равный объем среды. Клетки инкубировали во влажной атмосфере воздуха с 5% CO<sub>2</sub> при 37°C в течение 72 ч. За 2 ч до окончания культивирования клеток в каждую лунку добавляли по 1 мкКи [*метил*<sup>3</sup>H]тимицина. По окончании инкубации реакционную смесь фильтровали через стекловолокнистые фильтры GF/C (Whatman, Англия). Радиоактивность на фильтрах подсчитывали с помощью жидкостного сцинтилляционного счетчика LS5801 (Beckman, США). Доля включения [*метил*<sup>3</sup>H]тимицина рассчитывали по формуле:

$$\text{доля включения } [\text{метил}^3\text{H}] \text{тимицина} = \\ = (\text{имп./мин в опыте}) / (\text{имп./мин в контроле}).$$

Работа выполнена при финансовой поддержке Международного научно-технического центра (ISTC) и Международного центра генной инженерии и биотехнологии (ICGEB).

Авторы выражают благодарность Е.В. Навоцкой, Р.И. Нуриевой, Т.Н. Лепиховой и Н.В. Малковой (ФИБХ им. М.М. Шемякина и Ю.А. Овчин-

никова РАН, г. Пущино) за помошь при исследовании антипролиферативной активности белков; Н.С. Быстрову за синтез олигонуклеотидов, Ю.Ф. Леоновой за определение *N*-концевой аминокислотной последовательности, а также И.А. Куделиной за помошь при измерении КД-спектров.

### СПИСОК ЛИТЕРАТУРЫ

1. Долгих Д.А., Федоров А.Н., Чемерис В.В., Чернов Б.К., Финкельштейн А.В., Шульга А.А., Алаков Ю.Б., Кирпичников М.П., Птицын О.Б. // Докл. АН СССР. 1991. Т. 320. С. 1266–1269.
2. Fedorov A.N., Dolgikh D.A., Chemeris V.V., Chernov B.K., Finkelstein A.V., Schulga A.A., Alakov Yu.B., Kirpichnikov M.P., Ptitsyn O.B. // J. Mol. Biol. 1992. V. 225. P. 927–931.
3. Zav'yakov V.P., Navolotskaya E.V., Vasilenko R.N., Abramov V.M., Volodina E.Y., Roslovtseva O.A., Prusakov A.N., Kaurov O.A. // Molecular Immunology. 1995. V. 32. P. 425–431.
4. Zav'yakov V.P. Proceedings of the First ISTC Symp. "Immunoglobulins, Molecular Chaperones and Immunity". 1995. P. 45–68.
5. Dolgikh D.A., Gabrielyan A.E., Navolotskaya Y.V., Chemeris V.V., Kirpichnikov M.P. // Biophysics. 1993. V. 38. P. 59–66.
6. Dolgikh D.A., Uversky V.N., Gabrielyan A.E., Chemeris V.V., Fedorov A.N., Navolotskaya Y.V., Zav'yakov V.P., Kirpichnikov M.P. // Protein Eng. 1996. V. 9. P. 195–201.
7. Aphsizheva I.Yu., Dolgikh D.A., Abdullaev Z.K., Uversky V.N., Kirpichnikov M.P., Ptitsyn O.B. // FEBS Lett. 1998. № 425. P. 101–104.
8. Афасижева И.Ю., Долгих Д.А., Кирпичников М.П. // Молекулярн. биология. 1999. Т. 33. С. 679–683.
9. Kostanyan I.A., Astapova M.V., Starovoytova E.V., Dranitsina S.M., Lipkin V.M. // FEBS Lett. 1994. № 356. P. 327–329.
10. Костанян И.А., Астапова М.В., Старовойтова Е.В., Драницына С.М., Липкин В.М. // Биоорган. химия. 1995. Т. 21. С. 243–248.
11. Драницына С.М., Костанян И.А., Андреева С.Г., Астапова М.В., Бабиченко И.И., Баева О.В., Богачук А.П., Молотковская И.М., Родионов И.Л., Смирнова Е.В., Липкин В.М. // Биоорган. химия. 2000. Т. 26. С. 340–351.
12. Костанян И.А., Наволоцкая Е.В., Лепихова Т.Н., Астапова М.В., Родионов И.Л., Телегин Г.Б., Золотарев Ю.А., Молотковская И.М., Липкин В.М. // Биоорган. химия. 2000. Т. 26. С. 505–511.
13. Protein Fusion and Purification System. Direction for Expression and Purification of Proteins from Cloned Genes // New England Biolabs, 1991.
14. pET System Manual // 6<sup>th</sup> ed. Novagen, 1995.
15. Nagia K., Thøgersen H.C. // Nature. 1984. V. 309. P. 810–812.
16. QuikChange Site-Directed Mutagenesis Kit // Instruction Manual. Stratagene, 1997.
17. Nelson M., McClelland M. // Methods Enzymol. 1992. V. 216. P. 279–303.
18. Studier F.W., Moffatt B.A. // J. Mol. Biol. 1986. V. 189. P. 113–130.
19. Provencher S.W., Glocker J. // Biochemistry. 1981. V. 20. P. 33–37.
20. Chemeris V.V., Dolgikh D.A., Fedorov A.N., Finkelstein A.V., Kirpichnikov M.P., Uversky V.N., Ptitsyn O.B. // Protein Eng. 1994. V. 7. P. 1041–1052.
21. Афасижева И.Ю., Долгих Д.А., Абдуллаев З.Х., Латыпов Р.Ф., Тиктомуло Е.И., Уверский В.Н., Птицын О.Б., Кирпичников М.П. // Биофизика. 1998. Т. 43. С. 384–391.
22. Baehner R.L., Nathan D.G. // J. Med. 1968. V. 278. P. 971–976.
23. Тесенков В. // Иммунологические методы / Ред. Х. Фримеля. М.: Мир, 1979. С. 185–186.
24. Sambrook J., Fritsch E.F., Maniatis T. Molecular Cloning: A Laboratory Manual. Cold Spring Harbor, N.Y.; Cold Spring Harbor Lab. Press, 1989.
25. Practical Protein Chemistry. A Handbook / Ed. A. Dabre. Chichester, New York, Brisbane, Toronto, Singapore: John Wiley and Sons Ltd., 1986. P. 300–302.
26. Laemmli U.K. // Nature. 1970. V. 227. P. 680–685.
27. Schagger H., Jagow G. // Analyt. Biochem. 1987. V. 166. P. 368–379.
28. Edman P., Henschen A. // Protein Sequence Determination / Ed. S.B. Needleman. 2nd ed. Berlin, Heidelberg, New York: Springer, 1975. P. 232–279.

### An Artificial Protein with the Biological Activity of the Differentiation Factor for the HL-60 Cell Line of Human Promyelocyte Leukemia

R. V. Chertkova<sup>#</sup>, I. A. Kostanyan, M. V. Astapova,  
E. A. Surina, D. A. Dolgikh, and M. P. Kirpichnikov

<sup>#</sup>Phone: +7 (095) 335-2888, fax: +7 (095) 335-5033, e-mail: rita@nmr.ru

Shemyakin-Ovchinnikov Institute of Bioorganic Chemistry, Russian Academy of Sciences,  
ul. Miklukho-Maklaya 16/10, GSP Moscow, 117997 Russia

The ABB-df artificial protein was prepared by inserting the TGENHR biologically active peptide corresponding to the 41–46 sequence of the differentiation factor for the HL-60 cell line of the human promyelocyte leukemia into the *N*-terminus of the polypeptide chain of albebetin, an artificial protein with the preset structure. The ABB-df protein was found to induce the differentiation of HL-60 cells and to inhibit their proliferation; its efficiency was almost the same as that of the starting peptide. According to CD spectroscopy, the inclusion of the peptide fragment into albebetin exerts virtually no effect on the regular secondary structure of albebetin. The English version of the paper: *Russian Journal of Bioorganic Chemistry*, 2003, vol. 29, no. 1; see also <http://www.maik.ru>.

**Key words:** albebetin, artificial proteins, HLDF-6 peptide, HLDF differentiation factor, HL-60 cell line